

# اندازه‌گیری مکش بافتی اولیه‌ی خاک‌های متراکم شده بر روی بازه‌ی ترشدگی منحنی مشخصه‌ی آب-خاک

## با استفاده از روش جابجایی محوری

مهمنگی عمran و محیط زیست، دانشگاه کاشان  
دوری ۳ - ۰۹، شماره ۴، ص. ۱۳۷-۱۴۰، (زمستان ۱۳۹۲)، (پاداشرت فارسی)

علی میرزایی (استادیار)

دانشکده‌ی هندسی، دانشگاه کاشان

سید شهاب‌الدین پژویی \* (دانشیار)

دانشکده‌ی هندسی عمران و محیط زیست، دانشگاه تربیت مدرس

ناصر خلیلی (استاد)

دانشکده‌ی هندسی عمران و محیط زیست، دانشگاه نوو ساوت ویلز

در این نوشتار به بررسی کارلی استفاده از روش جابجایی محوری برای اندازه‌گیری مکش بافتی اولیه‌ی گونه‌های مختلفی از نمونه‌های خاک متراکم شده ماسه، لای، و رس پرداخته شده است. تجهیزات آزمایشگاهی مورد استفاده به گونه‌ی بود تا از رخداد بسیاری از عوامل خطای متداول در این روش جلوگیری شود. نمونه‌های خاک با استفاده از روش تراکم استاتیکی در مقادیر مختلف نسبت تخلخل متراکم و مکش بافتی اولیه‌ی آن‌ها با استفاده از روش جابجایی محوری و همچنین بازه‌ی ترشدگی منحنی مشخصه‌ی آب-خاک نمونه‌های خاک نیز اندازه‌گیری شده است. نتایج بدست آمده حاکی از سازگاری مقادیر مکش بافتی اندازه‌گیری شده با منحنی مشخصه‌ی آب-خاک نمونه‌ها بوده است.

ali.mirzaii@kashanu.ac.ir  
yasroabis@modares.ac.ir  
n.khalili@unsw.edu.au

واژگان کلیدی: خاک‌های غیراشباع، تراکم‌پذیری، اندازه‌گیری مکش بافتی، روش جابجایی محوری، منحنی مشخصه‌ی آب-خاک.

### ۱. مقدمه

بیشینه‌ی فشار هوایی است که سنگ متخلخل سرامیکی در حالت اشباع کامل از آب نسبت به هوا ناتراواست. با توجه به محلول‌بودن نمک‌ها و املال خاک درون آب و امکان تراویش آن‌ها به همراه آب از درون سطح تداخل، روش جابجایی محوری فقط بیان‌گر مکش بافتی درون خاک است.

اگرچه روش جابجایی محوری عمده‌ای برای کنترل مکش بافتی خاک در انجام آزمایش‌های مختلف بر روی خاک‌های غیراشباع استفاده شده است. در این روش متداول است تا فشار هوایی درون حفره‌های خاک به صورت مصنوعی از مقدار فشار اتمسفریک افزایش یابد و در صورت فرض بر تراکم‌پذیری دانه‌های جامد خاک و آب درون حفره‌ها، مقدار فشار آب حفره‌یی منفی خاک نیز باید به مقدار مساوی افزایش یابد. برخی از پژوهشگران نیز برای اندازه‌گیری مکش بافتی خاک‌های مختلف از این روش استفاده کردند.<sup>[۱-۶]</sup>

اگرچه وجود مشکلاتی همچون طولانی بودن مدت زمان اندازه‌گیری، تبخیر آب درون حفره‌های خاک، جمع‌شدن حباب‌های هوا در مجاری اندازه‌گیری فشار آب حفره‌یی، امکان تغییرشکل خاک به واسطه‌ی افزایش فشار هوای حفره‌یی، امکان جابجایی آب درون حفره‌های خاک و تغییر در نحوه‌ی توزیع آب درون حفره‌های خاک به واسطه‌ی افزایش فشار هوای نحوه‌ی تماس بین نمونه‌ی خاک و سطح تداخل باعث عدم تمایل پژوهشگران در استفاده از روش جابجایی محوری برای اندازه‌گیری مکش

دانستن مقدار مکش خاک در شناخت و بررسی جنبه‌های مختلف رفتار خاک‌های غیراشباع بسیار مهم است. مکانیک خاک‌های غیراشباع نیز به واسطه‌ی دشواری در اندازه‌گیری و یا کنترل مطلوب مکش در مقایسه با اندازه‌گیری و یا کنترل فشار آب حفره‌یی مثبت خاک‌های اشباع رشد بسیار کمتری داشته است.

تلاش‌های مکرر پژوهشگران برای شناخت جنبه‌های مختلف رفتاری خاک‌های غیراشباع باعث به وجود آمدن روش‌های مختلف برای کنترل و یا حتی اندازه‌گیری مکش خاک همچون روش جابجایی محوری، روش اسمزی و یا روش‌های کنترل رطوبت نسبی شده است، که جزئیات این روش‌ها و مقایسه‌ی بین آن‌ها در مبالغ مختلف اشاره شده است.<sup>[۷-۱۰]</sup>

یکی از متداول‌ترین روش‌های کنترل مکش در خاک‌های غیراشباع روش جابجایی محوری است. پیدایش این روش در سال‌های ۱۹۴۱ و ۱۹۵۶ برای خارج کردن آب درون حفره‌های خاک آغاز شد.<sup>[۱۱]</sup> در این روش مکش خاک توسط انتقال فاز آب از درون یک سطح تداخل تراوی به آب و ناتراوی به هوا اندازه‌گیری می‌شود. استفاده از سنگ‌های متخلخل سرامیکی با عدد عبوری هوای معین بهمنزله‌ی سطح تداخل نیمه تراوا متداول است. عدد عبوری هوای این سنگ‌های متخلخل بیان‌گر

\* نویسنده مسئول

تاریخ: دریافت ۲۱/۰۶/۱۳۹۰، اصلاحیه ۱۲/۲/۱۳۹۱، پذیرش ۲۴/۷/۱۳۹۱.

در این نوشتار به بررسی کارایی استفاده از روش جابجایی محوری برای اندازهگیری مکش بافتی در گونه های مختلف خاک های متراکم شده ماسه، لای و رس پرداخته شده است. تجهیزات مورد استفاده و روند انجام آزمایش ها به گونه بی بود که رخداد عوامل خطای اشاره شده کاهش باید. نحوه انجام آزمایش ها و نتایج به دست آمده شرح داده شدند. همچنین مشخصه های آب - خاک مصالح خاک مورد مطالعه در بازه ای ترشیگی اندازهگیری و صحت مقادیر مکش بافتی اولیه ای اندازهگیری شده نمونه های خاک با منحنی های مشخصه مقایسه شده است.

## ۲. مصالح خاک و تجهیزات آزمایشگاهی

در این تحقیق از سه نوع خاک مختلف استفاده شده است که عبارت اند از: خاک ماسه ای رس دار با نشانه های خمیری کم شامل ترکیبی از: ۴۰٪ ماسه و ۶۰٪ کائولینیت، خاک لای فاقد چسبندگی تهیه شده از منطقه گدوك در شمال استان تهران و خاک رس با نشانه های خمیری کم تهیه شده از شهر فیروزکوه. در جدول ۱ مشخصات مصالح خاک مورد استفاده در این تحقیق آورده شده است.

اندازهگیری مکش بافتی نمونه های خاک و منحنی های ترشیگی توسط دستگاه نشان داده شده در شکل ۱ انجام شده است. مطابق این شکل، در رایه های بالا و پایین سلول دستگاه سنتگ های سرامیکی متخالخل با عدد عبوری ۵ اتسفر و سنتگ های متخلخل واقع شده اند تا امکان اندازهگیری و یا کنترل مکش بافتی با استفاده از روش جابجایی محوری از دو انتهای نمونه های خاک میسر باشد. زهکشی آب و هوای حفره بی از دو سمت نمونه می تواند از تغییر توزیع درصد رطوبت خاک در حین استفاده از روش جابجایی محوری جلوگیری کند.

همچنین استفاده از این روش می تواند مدت زمان طولانی استفاده از روش جابجایی محوری را کاهش دهد.<sup>[۱۲]</sup> ضخامت سنتگ های سرامیکی مورد استفاده در تحقیق برابر ۳/۵ میلی متر بود که این امر نیز باعث کاهش زمان لازم برای رسیدن به حالت تعادل شده است.

همچنین ضخامت ۲ سانتی متری سلول فلزی دستگاه، امکان اندازهگیری تغییر حجم کل نمونه های خاک را با اندازهگیری حجم آب ورودی و خروجی به درون سلول دستگاه میسر می سازد. تغییر حجم کل نمونه های خاک و تغییر حجم آب حفره بی نمونه های خاک با دو دستگاه اوتوماتیک اندازهگیری تغییر حجم انجام شده است. برای ممانعت از تغییر رطوبت نمونه های خاک و یا جذب آن توسعه فشار هوای اعمال شده به درون حفره های خاک، مطابق شکل ۱ هوا با فشار تنظیم شده قبل از ورود به

بافتی خاک شده است. از جمله مشکلات اصلی استفاده از روش جابجایی محوری در اندازهگیری مکش بافتی خاک مدت زمان طولانی استفاده از این روش است که تابع عوامل مختلفی همچون: ابعاد نمونه های خاک، ضریب نفوذپذیری آب در خاک، ضریب نفوذپذیری سطح تداخل (سنگ های سرامیکی) نسبت به آب، ضخامت سطح تداخل، درجه ای اشباع، و مقدار مکش بافتی خاک است و بسته به عوامل مذکور، مدت زمان های بیش از چندین روز نیز توسط برخی پژوهشگران مشاهده شده است.<sup>[۱۱]</sup>

به علت طولانی بودن مدت زمان اندازهگیری مکش بافتی با استفاده از روش جابجایی محوری امکان تغییر آب درون حفره های خاک وجود دارد که توسط پژوهشگران مختلف مشاهده شده است.<sup>[۱۲]</sup> افزایش فشار هوای درون حفره های خاک که عمدهاً توسط وارد کردن هوا با یک فشار مفروض به درون خاک انجام گرفته است نیز می تواند باعث جذب و کاهش رطوبت درون حفره های خاک شود.

همچنین هوا می تواند درون آب حل شود و از درون سطح تداخل ناتراوا به هوا نیز عبور کند و وارد مجاري اندازهگیری فشار آب حفره بی خاک شود. این امر تابعی از میزان ناتراوايی سطح تداخل نسبت به هوا (فرضآ عدد عبوری هواي سنتگ های سرامیکی)، ضخامت سطح تداخل نیمه تراوا و مقدار مکش بافتی خاک است.<sup>[۱۳-۱۴]</sup> و در محدوده ای فشار های پایین آب (ازدیک و یا کمتر از فشار اتمسفر) امکان آزاد شدن هوای حل شده ای درون آب در مجاري اندازهگیری و کاهش دقت اندازهگیری مکش بافتی وجود خواهد داشت.

از جمله مشکلات دیگر امکان تغییر شکل و کاهش حجم نمونه های خاک در حین افزایش فشار هوای حفره بی است که در بیشتر دستگاه های ابتدایی مورد استفاده برای این امر مشاهده شده است.<sup>[۱۵-۱۷]</sup> که در این حالت امکان اندازهگیری مکش بافتی خاک در یک وضعیت تراکم مشخص وجود نخواهد داشت.

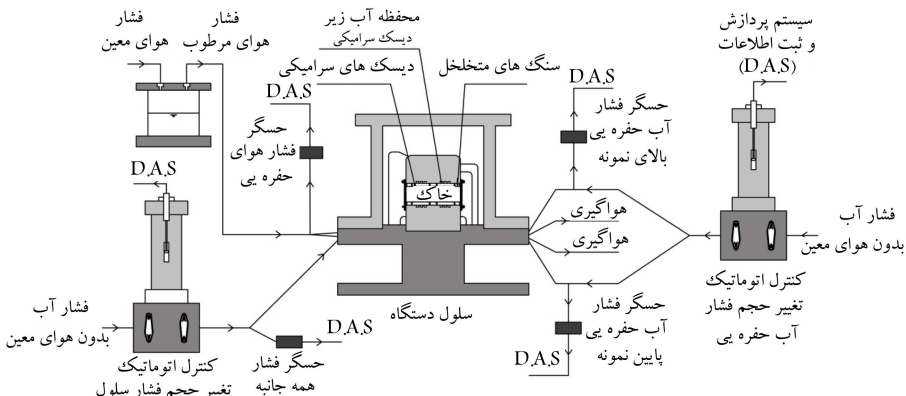
در اغلب دستگاه ها افزایش فشار هوای حفره بی نمونه های خاک عمدهاً از سمت بالای آن انجام می پذیرد و تغییرات فشار آب حفره بی خاک در سمت پایین نمونه های خاک اندازهگیری می شود. این امر می تواند باعث جابجا شدن آب درون حفره های بالای نمونه به سمت حفره های پایین نمونه های خاک و تغییر توزیع درصد رطوبت و مکش بافتی در توده های نمونه های خاک شود.

تماس مطلوب بین سطح نمونه های خاک و سطح تداخل نیمه تراوا نیز در استفاده از روش جابجایی محوری برای اندازهگیری مکش بافتی خاک بسیار مؤثر است. این امر به ویژه در خاک های دانه های بی سیار حائز اهمیت است که به واسطه های عدم تماس کامل نمونه های خاک با سطح تداخل امکان اندازهگیری فشار هوای افزایش بافتی درون حفره های خاک به جای فشار آب حفره بی درون خاک وجود دارد.

جدول ۱. مشخصات مصالح خاک.

خاک	حد روانی (%)
نشانه های خمیری (%)	۲۲,۵
وزن مخصوص دانه ها	۹/۵
دانه های ریزتر از ۷۵ میلی متر (%)	۲,۶۶
دانه های ریزتر از ۷۵ میکرومتر (%)	۲,۶۸
دانه های ریزتر از ۲ میکرومتر (%)	۱۰۰
رطوبت بهینه *	۶۲
بیشترین وزن مخصوص خاک * (kN/m <sup>۲</sup> )	۴۰
نوع خاک، طبقبندی متعدد	۱۴
	۹,۶
	۱۹,۷۱
	SC
	ML
	CL
رس فیروزکوه	۱۸,۰۶
لانی گدوك	۱۴,۱
مخلوط ماسه -کائولینیت	۸۸,۷
	۲۰
	۱۰۰
	۲,۷۵
فاقد چسبندگی	۹
-	۳۰

\* به دست آمده از آزمایش تراکم استاندارد.



شکل ۱. اجزای مختلف دستگاه مورد استفاده در تحقیق.

سلول دستگاه از یک محفظه‌ی بسته و نیمه پر از آب عبور داده شده است تا مانع متراکم شده‌اند. تراکم استاتیکی نمونه‌های خاک مطابق شکل ۲ درون یک قاب بارگذاری انجام پذیرفته است. برای این امر وزن مشخصی از خاک مرطوب درون یک قالب تراکم به قطر داخلی ۷ سانتی‌متر و ارتفاع ۱ سانتی‌متر ریخته شده است. مطابق این شکل برای جلوگیری از ریختن خاک درون قالب در حین عمل تراکم یک کلاهک قالب به ارتفاع ۳ سانتی‌متر بر روی قالب نمونه تعییه شده است.

پژوهشگران در سال ۱۹۹۶ برای تراکم استاتیکی نمونه‌های خاک لای به ارتفاع ۷،۶ سانتی‌متر در سه لایه‌ی یکسان، ابتدا لایه‌ی میانی نمونه‌ی خاک را با سرعت بارگذاری ۱/۵ میلی‌متر بر دقیقه تا رسیدن به ارتفاع مفروض متراکم و مقدار تنش باشد بر خاک را اندازه‌گیری،<sup>[۱۵]</sup> و سپس دو لایه‌ی خارجی نمونه‌ی خاک را با توجه به بیشینه‌ی تنش اندازه‌گیری شده در تراکم لایه‌ی میانی متراکم کردند. همچنین در سال ۲۰۰۹ نیز از سرعت بارگذاری ۱ میلی‌متر بر دقیقه برای تراکم استاتیکی هر یک از لایه‌های مختلف نمونه‌های خاک لای با ارتفاع ۱۰ سانتی‌متر استفاده شده است.<sup>[۱۶]</sup>

در این تحقیق تراکم استاتیکی نمونه‌ی خاک با سرعت بارگذاری ۱ میلی‌متر بر دقیقه تا تراکم کامل نمونه و رسیدن به ارتفاع ۱ سانتی‌متر انجام شده است. مطابق شکل ۲ مقدار ارتفاع نمونه‌ی خاک توسط یک حسگر جابجایی در طول عمل تراکم کنترل و مقدار نیروی لازم برای تراکم هر یک از نمونه‌های خاک به وسیله‌ی یک حسگر نیرو اندازه‌گیری شده است.

در شکل ۳ نمودار تنش تراکمی وارد بر نمونه‌های خاک لای در مرحله‌ی تراکم

سلول دستگاه از یک محفظه‌ی بسته و نیمه پر از آب عبور داده شده است تا مانع تبخیر رطوبت نمونه‌ی خاک در طول انجام آزمایش شود.

### ۳. برنامه‌ی آزمایش‌ها

در این مطالعه‌ی آزمایشگاهی ابتدا نمونه‌های خاک در مقادیر مفروض نسبت تخلخل در صد رطوبت به روش استاتیکی متراکم شده‌اند. سپس مکش بافتی نمونه‌های خاک متراکم شده با استفاده از روش جابجایی محوری اندازه‌گیری شده است. همچنین منحنی مشخصه‌ی آب خاک نمونه‌های خاک در بازه‌ی ترشدگی اندازه‌گیری شده است که در ادامه، روند و جزئیات آن‌ها ذکر شده است.

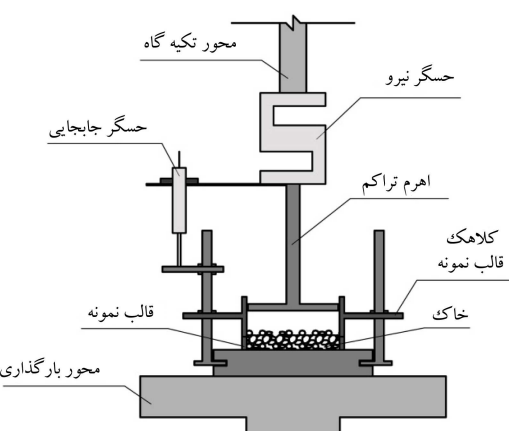
#### ۱.۳. بازسازی نمونه‌های خاک

نمونه‌های خاک در مقادیر مختلف وزن مخصوص و با درصد رطوبت بهینه‌ی خاک به روش استاتیکی متراکم شدند. در ابتدا درصد رطوبت خاک خشک به مقدار متناظر با رطوبت بهینه‌ی خاک (جدول ۱) رسانده و از الک شماره‌ی ۱۰ عبور داده شد تا اندازه‌ی کلوخه‌های تشکیل شده به هنگام مرطوب‌کردن خاک کاهش یابد. سپس خاک مرطوب شده به میزان ۲۴ ساعت در یک کيسه‌ی پلاستیکی عایق نگه‌داری شد تا رطوبت خاک همگن شود.

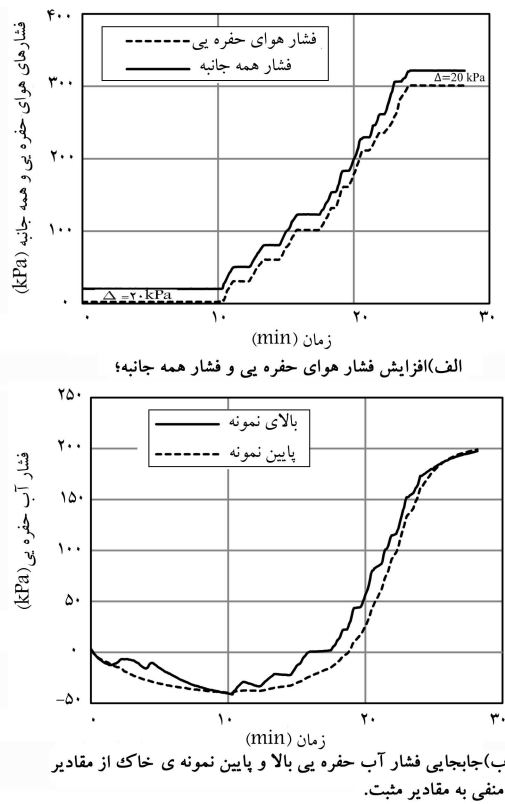
نمونه‌های خاک در مقادیر مختلف نسبت تخلخل نشان داده شده در جدول ۲

جدول ۲. مشخصات نمونه‌های خاک متراکم شده به روش استاتیکی.

حاک	وزن مخصوص خشک (kN/m³)	نسبت تخلخل (kPa)	تشن تراکمی
مخاوط ماسه	۱۹/۷۱	۰,۳۲	۵۳۰۰
و کائولینیت	۱۷/۱۶	۰,۵۲	۸۵۰
	۱۵/۲۰	۰,۷۲	۲۱۰
رس فیروزکوه	۱۸/۰۶	۰,۴۹	۴۲۰۰
	۱۵/۷۷	۰,۷۱	۹۹۰
	۱۴/۱۴	۰,۹۲	۳۴۰
لای گلوك	۱۵/۷۷	۰,۶۱	۷۶۰



شکل ۲. روش تراکم استاتیکی نمونه‌های خاک.



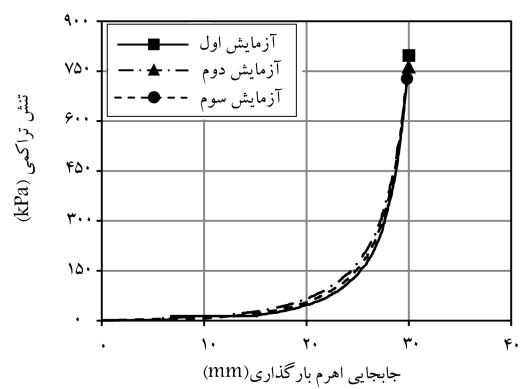
شکل ۵. افزایش فشار آب حفره‌بی منفی نمونه‌ی خاک رس با نسبت تخلخل ۰/۴۹ با استفاده از روش جابجایی محوری.

با گذشت زمان و ادامه‌ی روند کاهش فشار آب درون محفظه‌ی زیر سنگ‌های سرامیکی بالا و پایین برای جلوگیری از رسیدن آن‌ها به مقدار  $10^0$  کیلوپاسکال و رخداد خلاسازی، فشار هوای حفره‌بی و فشار همه‌جانبه‌ی وارد بر نمونه‌ی خاک به صورت یکسان و پیوسته از مقادیر  $0^0$  و  $20^0$  کیلوپاسکال به ترتیب تا مقادیر  $30^0$  و  $32^0$  کیلوپاسکال افزایش یافته، تا فشار آب حفره‌بی نمونه‌ی خاک از مقادیر منفی به سمت مقادیر مثبت و قابل اندازه‌گیری جابجا شوند. این امر در شکل ۵ برای نمونه‌ی خاک رس با نسبت تخلخل ۰/۴۹ نشان داده شده است.

مطابق شکل ۵الف، روند افزایش فشارهای هوای حفره‌بی و همه‌جانبه به گونه‌ی بوده است که تنفس تحریکی وارد بر نمونه‌ی خاک همواره برابر  $20^0$  کیلوپاسکال باشد، تا باعث حفظ تماس مطلوب بین نمونه‌ی خاک و سطوح سنگ‌های سرامیکی شود. همچنین افزایش فشار هوای حفره‌بی درون خاک در مدت زمان ۱۵ دقیقه و به صورت پیوسته با نزد تقریبی  $20^0$  کیلوپاسکال بر دیقیه انجام شده است تا یک پارچگی ارتباط بین آب درون حفره‌های خاک و حفره‌های سنگ‌های سرامیکی، و آب زیر محفظه‌ی سنگ‌های سرامیکی کاملاً حفظ شود. مطابق شکل ۵ب افزایش فشار هوای حفره‌بی باعث افزایش فشار آب حفره‌بی بالا و پایین نمونه‌ی خاک شده است.

به طور متدال و بسته به نوع خاک بعد از گذشت زمان ۲ الی ۶ ساعت فشار آب حفره‌بی بالا و پایین نمونه‌ها به حالت تعادل و مقادیر مساوی رسیده و مکش بافتی نمونه‌ی خاک اندازه‌گیری شده است. این امر برای نمونه‌ی خاک رس با نسبت تخلخل ۰/۴۹ در شکل ۶ نشان داده شده است.

ضخامت کم نمونه‌های خاک (۱ سانتی‌متر)، زهکشی دو طرفه‌ی نمونه‌ی خاک، و ضخامت کم  $3/5$  میلی‌متر) سنگ‌های سرامیکی بر روی مدت زمان کم رسیدن نمونه‌های خاک به حالت تعادل این تحقیق مؤثر بوده است. همچنین در تمامی

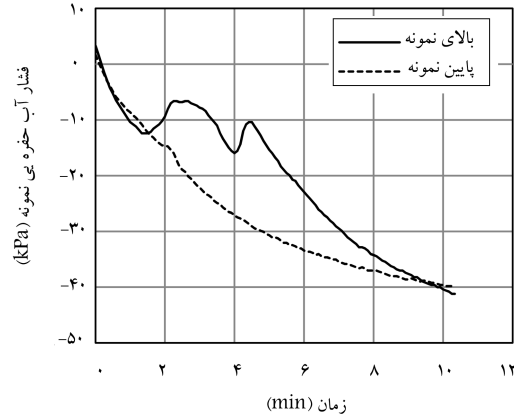


شکل ۳. تغییرات تنفس تراکمی وارد بر نمونه‌های خاک لای در حین تراکم استاتیکی.

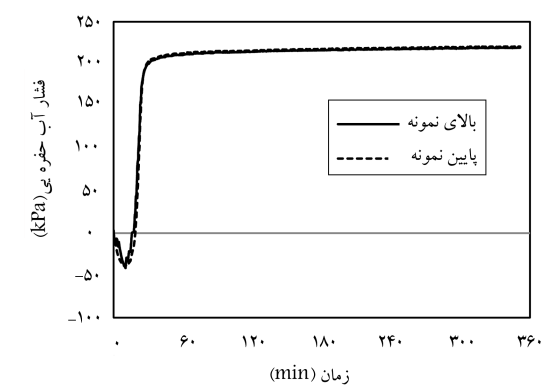
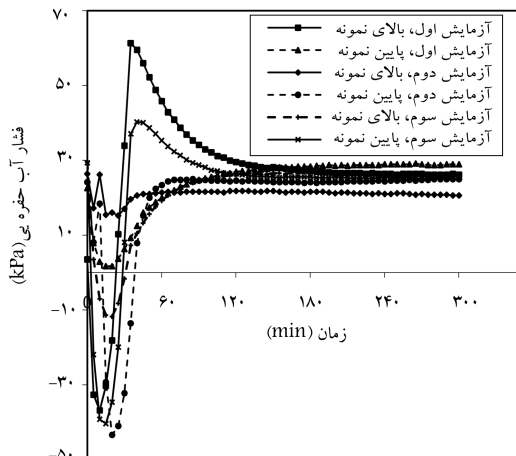
ترسیم شده است. نتایج نشان داده شده در شکل ۳ و نتایج به دست آمده در خاک‌های دیگر حاکی از تکرار پذیری تنفس‌های تراکمی اندازه‌گیری شده با خطای کمتر از  $10\%$  بوده است. در جدول ۲ مقادیر تنفس تراکمی متناظر با هر یک از نمونه‌های خاک آورده شده است.

### ۲.۳. اندازه‌گیری مکش بافتی نمونه‌های خاک

در ابتدا برای اندازه‌گیری مکش بافتی نمونه‌های خاک، بخش‌های مختلف دستگاه درآمد شدند. سنگ‌های متخلخل سرامیکی سلول دستگاه با دستگاه ۷ اتسوسفر اشباع و تا زمان تعییه‌ی نمونه‌های خاک بر روی آن‌ها در حالت کاملاً اشباع سنگ‌های شدن. همچنین مجاری فشار‌ها و سنگ‌های متخلخل نیز بعد از اشباع سنگ‌های سرامیکی کاملاً خشک و مجاری فشار آب حفره‌بی نمونه‌ی خاک نیز با آب بدون هوا کاملاً پر و نمونه‌های خاک متراکم شده درون سلول دستگاه تعییه و سلول دستگاه نیز از آب بدون هوا پر شد. سپس فشار همه‌جانبه  $20^0$  کیلوپاسکال در داخل سلول اعمال شد تا تماس مطلوبی بین سطوح نمونه‌ی خاک و سطوح سنگ‌های سرامیکی و سنگ‌های متخلخل برقرار شود. بعد از گذشت چند دقیقه مشاهده شد که به واسطه‌ی فشار منفی آب حفره‌بی نمونه‌های خاک، فشار آب محفظه‌ی زیر سنگ‌های سرامیکی بالا و پایین تا مقادیر کمتر از  $40^0$  کیلوپاسکال کاهش یافته است. این امر در شکل ۴ برای یک نمونه‌ی خاک رس متراکم شده در نسبت تخلخل  $0/49$  نشان داده شده است.



شکل ۴. تغییرات فشار آب حفره‌بی بالا و پایین نمونه‌ی خاک رس با نسبت تخلخل  $0/49$  بعد از تعییه‌ی درون سلول دستگاه.



شکل ۶. حالت تعادل فشار آب حفره‌یی بالا و پایین نمونه‌ی خاک رس با نسبت تخلخل ۰,۴۹.

شکل ۸. حالت تعادل فشار آب حفره‌یی بالا و پایین نمونه‌ی خاک مخلوط ماسه کاتولینیت با نسبت تخلخل ۰,۵۲.

جدول ۳. مکش بافتی متوسط اندازه‌گیری شده‌ی نمونه‌های خاک.

خاک	مکش بافتی اولیه (kPa)	نسبت تخلخل	مکش بافتی
مخلوط ماسه	۰,۳۲	۲۵۲	۰,۵۲
و کاتولینیت	۰,۵۲	۲۷۴	۰,۷۲
رس فیروزکوه	۰,۴۹	۷۷	۰,۷۱
لای گدوك	۰,۶۱	۱۰۴	۰,۹۲
		۱۰۱	
		۴۵	

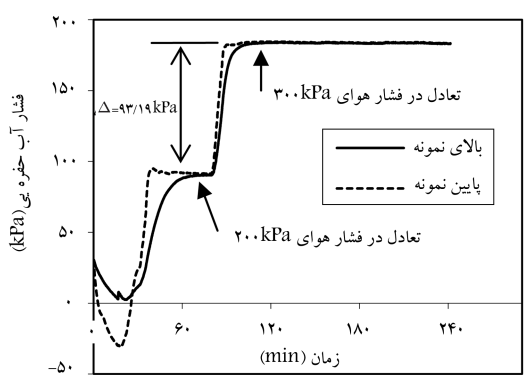
جدول ۳ متوسط مکش بافتی اندازه‌گیری شده از دو انتهای نمونه‌ها با توجه به تکرار آزمایش بر روی نمونه‌ها آورده شده است.

### ۳.۳. اندازه‌گیری منحنی مشخصه‌ی آب - خاک

برای بررسی صحت مقادیر مکش بافتی اولیه‌ی اندازه‌گیری شده، بازه‌ی ترشدگی منحنی مشخصه‌ی آب - خاک تمامی نمونه‌های خاک مورد استفاده در بخش ۲.۳ این تحقیق اندازه‌گیری شد.

برای این امر، نمونه‌های خاک با توجه به روند اشاره شده در بخش ۱.۳ مطابق با مشخصات مندرج در جدول ۲ بازسازی شده‌اند. در ادامه، منحنی مشخصه‌ی ترشدگی آب - خاک نمونه‌های خاک رس و مخلوط ماسه - کاتولینیت در بازه‌ی مکش بافتی ۰ الی ۴۰۰ کیلوپاسکال افزایش یافته در بازه‌ی مکش بافتی آب - خاک لای گدوك در بازه‌ی مکش بافتی ۰ الی ۱۰۰ کیلوپاسکال اندازه‌گیری شد.

مطابق نتایج آزمایشگاهی به دست آمده در جدول ۳، مقدار مکش بافتی اندازه‌گیری شده‌ی تمامی نمونه‌های خاک رس و مخلوط ماسه - کاتولینیت کمتر از ۴۰۰ کیلوپاسکال و مکش بافتی اولیه‌ی نمونه‌های خاک لای نیز کمتر از ۱۰۰ کیلوپاسکال بوده است. در نتیجه برای اندازه‌گیری منحنی ترشدگی در بازه‌ی مفروض، مکش بافتی نمونه‌های خاک رس و مخلوط ماسه - کاتولینیت و نمونه‌های خاک

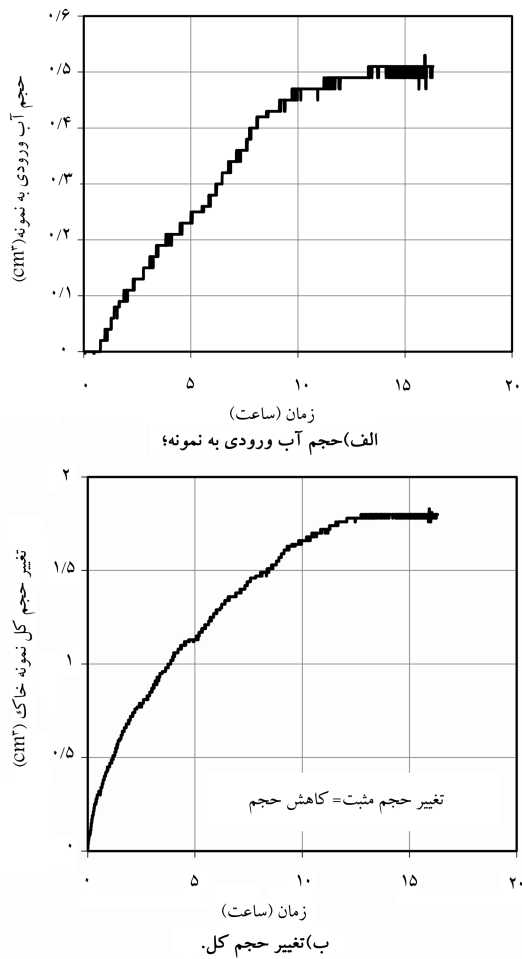


شکل ۷. حالت تعادل فشار آب حفره‌یی بالا و پایین نمونه‌ی خاک رس با نسبت تخلخل ۰,۴۹.

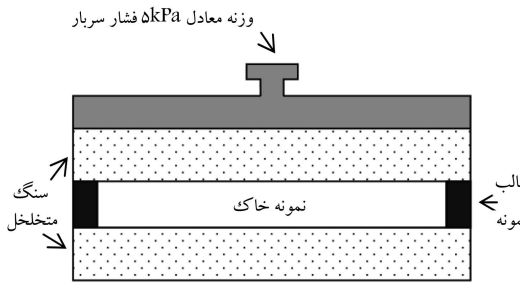
آزمایش‌ها مقدار ۳۰۰ کیلوپاسکال افزایش فشار هوای حفره‌یی نمونه‌های خاک باعث انتقال فشار آب حفره‌یی نمونه‌ها به مقادیر مثبت بین ۳۰ الی ۲۱۰ کیلوپاسکال شده و از جمع و یا آزادشدن حباب‌های هوای زیر سنگ‌های سرامیکی و مجاري اندازه‌گیری فشار آب حفره‌یی جلوگیری کرده است.

برای بررسی تأثیر مقدار افزایش فشار هوای حفره‌یی بر روی مکش بافتی اندازه‌گیری شده در یکی از آزمایش‌ها، ابتدا فشار هوای حفره‌یی به مقدار ۲۰۰ کیلوپاسکال افزایش یافت. سپس با رسیدن فشارهای آب حفره‌یی بالا و پایین نمونه‌ی خاک به حالت تعادل، فشار هوای حفره‌یی خاک به مقدار ۳۰۰ کیلوپاسکال افزایش یافت و تغییرات فشار آب حفره‌یی خاک تا رسیدن به حالت تعادل اندازه‌گیری شد (شکل ۷). مطابق این شکل به واسطه‌ی ۱۰۰ کیلوپاسکال افزایش فشار هوای حفره‌یی مقادیر فشار آب حفره‌یی بالا و پایین نمونه نیز به مقدار تقریباً مساوی ۹۳/۱۹ کیلوپاسکال افزایش یافته است. اختلاف جزئی مشاهده شده بین مقدار افزایش فشار هوای حفره‌یی و مقدار افزایش یافته فشار آب حفره‌یی (برابر ۷/۸۱ کیلوپاسکال) به واسطه‌ی عدم تراکم ناپذیری کامل فاز آب حفره‌یی درون خاک است.

نکار پذیری و دقیق مقادیر اندازه‌گیری شده‌ی مکش بافتی نیز با اجرای مکرر روند فوق برای هر یک از نمونه‌های خاک متراکم شده بررسی شد. برای مثال، در شکل ۸ تغییرات فشار آب حفره‌یی بالا و پایین یک نمونه‌ی خاک مخلوط ماسه - کاتولینیت متراکم شده در نسبت تخلخل ۰,۵۲ نشان داده شده است که بیان‌گر تشابه تغییرات فشار آب حفره‌یی بالا و پایین نمونه‌ی خاک در هر سه آزمایش انجام شده است. در



شکل ۱۰. کاهش مکش بان্তی نمونه‌ی هواده‌ی شده‌ی خاک رس با نسبت تخلخل ۵۰/۴۹ به مکش بافتی ۴۰۰ کیلوپاسکال.



شکل ۹. هواده‌ی نمونه‌های خاک.

لای با هواده‌ی به ترتیب به مقادیر بیشتر از ۴۰۰ و ۱۰۰ کیلوپاسکال افزایش یافته است. برای این امر بعد از تراکم استاتیکی نمونه‌های خاک، دو سنگ متخلخل در دو انتهای نمونه برای تبخیر یکنواخت رطوبت خاک تعییه شد (مطابق شکل ۹). تماس مطلوب بین قالب نمونه‌ی خاک و سنگ‌های متخلخل نیز با قراردادن یک وزنه معادل با فشار ۵ کیلوپاسکال بر روی سنگ متخلخل بالا برقرار شده است.

قطر سنگ‌های متخلخل با قطر خارجی قالب نمونه برابر بوده است تا از انتقال فشار سربار به سطوح صاف نمونه‌های خاک جلوگیری شود. هواده‌ی نمونه‌های خاک مخلوط ماسه کائولینیت و لای و نمونه‌های رس به ترتیب به میزان ۱۲ و ۲۴ ساعت باعث افزایش مکش بافتی آنها به مقادیر بیشتر از مقدار مفروض شد. صحبت این امر با تعییه‌ی نمونه‌های خاک درون دستگاه و تکردن آنها به مقادیر مکش بافتی مفروض بررسی شده است.

بعد از خارج کردن نمونه‌های خاک هواده‌ی شده از درون قالب خاک، قطر و ارتفاع نمونه‌ها به دقت اندازه‌گیری شده است تا میزان کاهش حجم جزوی آنها به واسطه‌ی هواده‌ی (در حدود ۰/۵۰ الی ۰/۵ سانتی‌متر مکعب) اندازه‌گیری و در محاسبات مرتبط در نظر گرفته شود. سپس نمونه‌های خاک هواده‌ی شده درون سولو دستگاه تعییه و محفظه‌ی سولو دستگاه نیز با آب بدون هوا پر شده است.

منحنی ترشیگی مشخصه‌ی آب-خاک نمونه‌های خاک مخلوط ماسه کائولینیت و رس با کاهش مکش بافتی نمونه‌های هواده‌ی شده به مقادیر ۴۰۰، ۴۵۰، ۵۰۰، ۵۵۰ و ۶۰۰ کیلوپاسکال اندازه‌گیری شد. این امر برای نمونه‌های خاک لای نیز با کاهش مکش بافتی نمونه‌های هواده‌ی شده به مقادیر ۱۰۰، ۱۵۰، ۲۰۰، ۲۵۰، ۳۰۰ و ۳۵۰ کیلوپاسکال انجام شد. در نمونه‌های خاک رس و مخلوط ماسه کائولینیت فشارهای هوای حفره‌یی و همه‌جانبه به صورت پیوسته و مساوی به ترتیب به مقادیر ۴۵۰ و ۴۷۰ کیلوپاسکال افزایش یافته‌اند. سپس تغییر مکش بافتی نمونه‌ها فقط با تغییر فشار آب حفره‌یی نمونه‌ی خاک انجام شد و مقدار فشارهای هوای حفره‌یی و همه‌جانبه همواره ثابت بود، تا از بروز خطأ در اندازه‌گیری تغییر حجم کل نمونه خاک به واسطه‌ی تغییر فشارهای همه‌جانبه و با هوا حفره‌یی جلوگیری شود. روند مشابهی نیز برای نمونه‌های خاک لای به ترتیب با اعمال فشارهای هوای حفره‌یی و همه‌جانبه نیز برای ۳۰۰ و ۳۲۰ کیلوپاسکال انجام پذیرفت. بسته به نوع خاک، میزان تراکم و مکش بافتی نمونه، زمان رسیدن به حالت تعادل در هر مرحله‌ی کاهش مکش بافتی نمونه‌ها بین ۱۲ تا ۲۴ ساعت به طول انجامیده است.

در شکل ۱۰ نمودار حجم آب ورودی و تغییر حجم کل یک نمونه‌ی رس با نسبت تخلخل اولیه‌ی ۴۹/۰ به واسطه‌ی کاهش مکش بافتی از وضعیت هواده‌ی شده به مقادیر ۴۰۰ کیلوپاسکال نشان داده شده است. مطابق شکل ۱۰ به واسطه‌ی کاهش مکش بافتی و ترشدن، حجم نمونه‌ی خاک کاهش یافته است. روند مشابهی نیز در تمامی نمونه‌های خاک مورد مطالعه در این تحقیق مشاهده شد.

در شکل‌های ۱۱ الی ۱۳ منحنی‌های ترشدگی مشخصه‌ی آب-خاک به ترتیب برای نمونه‌های مخلوط ماسه-کاتولینیت، رس فیروزکوه و لای گدوک آورده شده است. همچنین مقادیر مکش بافتی اولیه‌ی اندازه‌گیری شده نمونه‌های خاک نیز مشخص شده‌اند.

مطابق نتایج آزمایشگاهی مندرج در شکل‌های ۱۱ الی ۱۳ مشاهده شده است که با وجود درصد رطوبت تراکم یکسان نمونه‌ها، منحنی‌های مشخصه‌ی اندازه‌گیری شده در مقادیر مختلف نسبت تخلخل متفاوت بوده و با افزایش تراکم و کاهش نسبت تخلخل نمونه‌ها، منحنی‌های مشخصه‌ی ترشدگی آب-خاک به سمت بالا جابجا شده است.

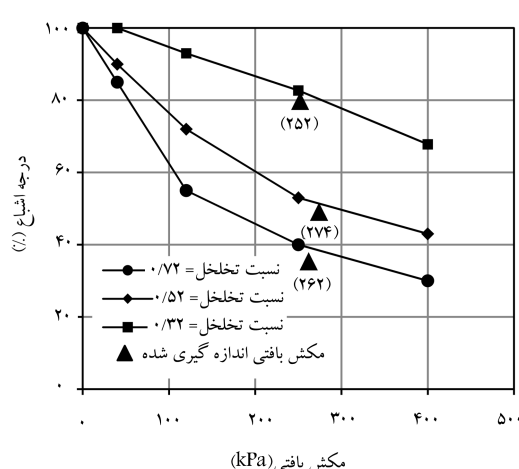
در واقع در یک مقدار درصد رطوبت اولیه‌ی مفروض، کاهش نسبت تخلخل نمونه‌ها باعث کاهش حجم حفره‌های پراز هوای درون خاک و مجازی اتصال آن‌ها به یکدیگر شده و در یک مکش بافتی مفروض مطابق شکل‌های ۱۱ الی ۱۳ باعث افزایش درجه‌ی اشباع خاک و جابجایی منحنی مشخصه‌ی آب-خاک به سمت بالا شده است. پژوهشگران در سال ۱۹۹۹ نیز روند مشابهی برای جابجایی منحنی مشخصه‌ی آب-خاک به واسطه‌ی کاهش نسبت تخلخل خاک مشاهده کردند.<sup>[۱۲]</sup>

مقادیر مکش بافتی اولیه‌ی اندازه‌گیری شده نمونه‌های خاک مندرج در جدول ۳ در شکل‌های ۱۱ الی ۱۳ برای حالات مختلف نسبت تخلخل اولیه‌ی خاک مشخص و مقادیر آن‌ها نیز در داخل پرانتز بر حسب کیلوپاسکال درج شده است.

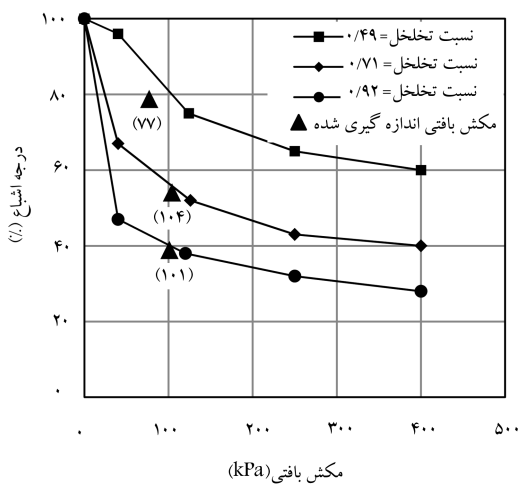
با وجود درصد رطوبت تراکم یکسان نمونه‌های خاک، مکش بافتی نمونه‌ها متفاوت و تابعی از میزان تراکم و نسبت تخلخل خاک است. همچنین بررسی شکل‌های ۱۱ الی ۱۳ بیان‌گر این مطلب است که مقادیر مکش بافتی اولیه‌ی اندازه‌گیری شده نمونه‌های خاک در یک نسبت تخلخل مفروض تقریباً بر روی منحنی ترشدگی مشخصه‌ی آب-خاک نمونه در همان نسبت تخلخل واقع شده‌اند. این روند برای تمامی نمونه‌های خاک مشاهده شده و حاکی از صحت مقادیر مکش بافتی اندازه‌گیری شده با استفاده از روش جابجایی محوری در هر سه نوع خاک مخلوط ماسه-کاتولینیت، لای گدوک و رس فیروزکوه بوده است.

رفتار تغییر حجمی فرو ریزشی نمونه‌های خاک در حین اندازه‌گیری منحنی مشخصه‌ی ترشدگی آب-خاک باعث شده است تا نسبت تخلخل نمونه‌های خاک به میزان اندازی نسبت به مقدار اولیه‌ی آن‌ها کاهش یابد. این امر باعث شده است تا مقادیر مکش بافتی اندازه‌گیری شده کاملاً بر روی منحنی مشخصه‌ی آب-خاک واقع نشود و به میزان اندازی در پایین منحنی واقع شوند. این مسئله در نمونه‌ی خاک رس فیروزکوه با نسبت تخلخل ۴۹٪ در شکل ۱۲ نسبت به سایر نمونه‌های خاک مشهودتر است.

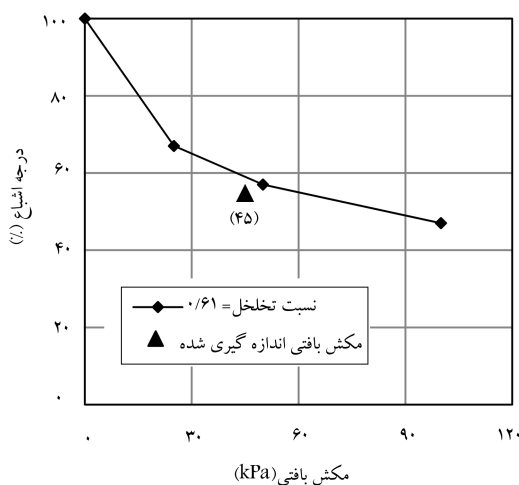
در طول تراکم استاتیکی نمونه‌های خاک، درجه‌ی اشباع آن‌ها تا رسیدن به نسبت تخلخل مفروض همواره افزایش یافته است. در نتیجه وضعیت نمونه‌های خاک متراکم شده بعد از مرحله‌ی تراکم باید بر روی بازه‌ی ترشدگی منحنی مشخصه‌ی آب-خاک واقع شود. نتایج آزمایشگاهی به دست آمده در شکل‌های ۱۱ الی ۱۳ نیز حاکی از واقع شدن وضعیت نمونه‌های خاک متراکم شده بر روی منحنی ترشدگی



شکل ۱۱. مقادیر مکش بافتی اندازه‌گیری شده و منحنی مشخصه‌ی آب-خاک نمونه‌های خاک مخلوط ماسه-کاتولینیت.



شکل ۱۲. مقادیر مکش بافتی اندازه‌گیری شده و منحنی مشخصه‌ی آب-خاک نمونه‌های خاک رس.



شکل ۱۳. مقادیر مکش بافتی اندازه‌گیری شده و منحنی مشخصه‌ی آب-خاک نمونه‌های خاک لای.

تجهیزات آزمایشگاهی مورد استفاده به گونه‌ی بوده است تا از بروز بسیاری از مشکلات متداول در استفاده از روش جابجایی محوری برای اندازه‌گیری مکش بافتی خاک‌ها همچون مدت زمان آزمایش، تغییرشکل نمونه‌ی خاک به واسطه‌ی اعمال فشار‌ها، تغییر در توزیع آب درون حفره‌های خاک و تبخر رطوبت نمونه‌ی خاک جلوگیری کند.

نتایج بدست آمده بیان‌گر این امر است که نمونه‌های خاک متراکم شده در یک مقدار درصد رطوبت یکسان و نسبت تخلخل‌های مختلف دارای مقادیر مکش بافتی متفاوتی بوده‌اند. همچنین مقادیر مکش بافتی اولیه‌ی نمونه‌های خاک اندازه‌گیری شده با استفاده از روش جابجایی محوری با رفتار منحنی مشخصه‌ی آب-خاک سازگار بوده و بر روی بازه‌ی ترشیگی منحنی‌های مشخصه‌ی آب-خاک واقع شده‌اند.

مشخصه‌ی آب-خاک و کارایی استفاده از روش جابجایی محوری در اندازه‌گیری مکش بافتی نمونه‌های خاک بوده است.

## ۵. نتیجه‌گیری

در این تحقیق به بررسی آزمایشگاهی کارایی استفاده از روش جابجایی محوری برای اندازه‌گیری مکش بافتی گونه‌های مختلف خاک‌ها پرداخته شد. همچنین منحنی مشخصه‌ی ترشیگی خاک‌های مورد استفاده در تحقیق اندازه‌گیری و صحبت مقادیر مکش بافتی اندازه‌گیری شده با توجه به آن‌ها بررسی شده است.

## منابع (References)

- Ridley, A.M. and Wray, W.K. "Suction measurement: A review of current theory and practices", *Proc. 1st Int. Conf. on Unsaturated Soils*, Paris, Unsaturated Soils, E.E. Alonso and P. Delage (eds.), A.A. Balkema/Presses des Ponts et Chaussées, Paris, **3**, pp. 1293-1322 (1996).
- Agus, S.S. and Schanz, T. "Comparison of four methods for measuring total suction", *Vadose Zone J.*, **4**(4), pp. 1087-1095 (2005).
- Delage, P., Romero, E.E. and Tarantino, A. "Recent developments in the techniques of controlling and measuring suction in unsaturated soils", *Unsaturated Soils: Advances in Geo-Engineering* – Toll et al. (eds)© 2008 Taylor & Francis Group, London, ISBN 978-0-415-47692-8, pp. 33-52 (2008).
- Richards, L.A. "A pressure membrane extraction apparatus for soil suction", *Soil Science*, **51**(5), pp. 377-386 (1941).
- Gardner, W.R. "Calculation of capillary conductivity from pressure plate outflowdata", *Soil Sci. Soc. Am. Proc.*, **20**(3), pp. 317-320 (1956).
- Hilf, J.W. "An investigation of pore-water pressure in compacted cohesive soils", Ph.D. Thesis. Technical Memo No.654, United States Bureau of Reclamation, Denver (1956).
- Widger, R.A. "Slope stability in unsaturated soils", M.Sc. Thesis, Univ. of Saskatchewan, Saskatoon, Sask., Canada, 71 p. (1976).
- Filson, H.L. "A study of heave analysis using the oedometer test", M.Sc. thesis, Univ. of Saskatchewan, Saskatoon, Sask., Canada (1980).
- Olson, R.E. and Langfelder, L.J. "Pore-water pressures in unsaturated soils", *J. Soil Mech. Found. Div., Proc. Amer. Soc. Civil Eng.*, **91**, SM4, pp. 127-160 (1965).
- Fredlund, D.G., *Soil Suction Monitoring for Roads and Airfields*, Symposium on the State-of-the-Art of Pavement Response Monitoring Systems for Roads and Airfields, Sponsored by the U.S. Army Corps of Engineers (Hanover, NH) (6-9 March 1989).
- Oliveira, O.M. and Marinho, F.A.M. "Study of equilibration time in the pressure plate", *Proc. 4th Int. Conf. on Unsaturated Soils, Carefree, Arizona, Unsaturated Soils*, Geotechnical Special Publication 147. G.A. Miller, C.E. Zapata, S.L. Houston and D.G. Fredlund (eds). ASCE, **2**, pp. 1864-1874 (2006).
- Romero, E. "Characterisation and thermo-hydromechanical behaviour of unsaturated boom clay: An experimental study", Ph.D. Thesis, Universitat Politècnica de Catalunya, Barcelona, Spain (1999).
- Fredlund, D.G. and Rahardjo, H., *Soil mechanics for Unsaturated Soils*, John Wiley & Sons, Inc. New York (1993).
- Rojas, J.C., Mancuso, C. and Vinale, F. "A modified triaxial apparatus to reduce testing time: Equipment and preliminary results", *Unsaturated Soils: Advances in Geo-Engineering* – Toll et al. (eds)© 2008 Taylor & Francis Group, London, ISBN 978-0-415-47692-8, pp. 103-109 (2008).
- Cui, Y.J. and Delage, P. "Yielding and plastic behaviour of an unsaturated compacted silt", *Géotechnique*, **46**(2), pp. 291-311 (1996).
- Uchaipichat, A. and Khalili, N. "Experimental investigation of thermo-hydro-mechanical behaviour of an unsaturated silt", *Geotechnique*, **59**(4), pp. 339-353 (2009).

# APPLICATION OF AXIS TRANSLATION TECHNIQUE FOR MEASURING INITIAL MATRIX SUCTION OF COMPACTED SOIL ON WETTING PORTION OF SWCC

A. Mirzaii

ali.mirzaei@kashanu.ac.ir

Faculty of Engineering

University of Kashan

S.S. Yasrobi (corresponding author)

yasrobis@modares.ac.ir

Dept. of Civil and Environmental Engineering

Tarbiat Modares University

N. Khalili

n.khalili@unsw.edu.au

Dept. of Civil and Environmental Engineering

University of New South Wales Australia

Sharif Civil Engineering Journal

Volume 29, Issue 4, Page 127-136, Research Note

© Sharif University of Technology

- Received 12 September 2011; received in revised form 1 May 2012; accepted 15 October 2012.

## Abstract

The axis translation technique is the most commonly used technique of controlling suction. Nevertheless, the axis translation is not diversely utilized for measuring soil suction, due to many difficulties concerning the application of this technique, such as lengthy test procedure, evaporation and condensation, air diffusion, soil volume changes, change of soil pore water distributions, and the interface of soil and measuring equipment. In this paper, the applicability of the axis translation technique is determined in measuring the initial matrix suction of a variety of compacted soils, including sand, silt, and clay. Elaborate experimental laboratory equipment is set up to minimize the occurrence of common errors associated with the application of axis translation techniques for suction measurement. The cell of the apparatus was equipped with porous stones and five bar ceramic disks in its bottom pedestal and top cap to minimize the lengthy procedure time and possible change in soil pore water distribution associated with controlling and measuring soil matrix suction using the axis translation technique. Additionally, the pressurized air entering the cell was passed through a closed container, half filled with water, before going to the cell, to minimize the loss of soil water content during the test. Soil samples were statically compressed inside a load frame in different compaction states with standard proctor optimum

water content. The degree of saturation of samples was increased during the compression stage. Therefore, the compacted soil samples would be expected to locate on the wetting portion of the soil-water characteristic curve. After the compaction stage, soil samples were installed inside the apparatus and confined with a lateral pressure of 20 kPa to provide good contact between the end sides of specimens and the surfaces of the matrix suction measuring devices. Consequently, pore air and net confining pressure were identically and gradually increased to 300 and 320 kPa to shift the sample negative pore water pressure to a positive measurable value. Analogous positive pressures were stabilized in both ends of the samples within four to eight hours. Additionally, the wetting portion of the soil-water characteristic curve of the soil under study was measured with the testing equipment to validate the values of initial matrix suction measurements. The comparison of results shows that the sample soil suction measurements are located on their wetting soil-water characteristic curve.

**Key Words:** unsaturated soils, compressibility, matrix suction measurement, axis translation technique, soil-water characteristic curve.